

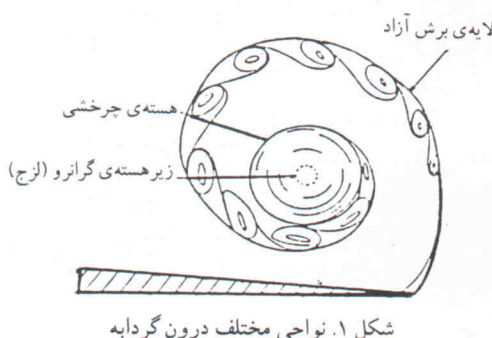
بررسی تجربی گردا به های به وجود آمده روی بال های مثلثی

محمد رضاسلطانی (استاد بار)
علیرضا داوری (دانشجوی دکترا)
دانشکده هوا فضای
دانشگاه صنعتی شریف

به منظور بررسی تجربی تشکیل گردا به ها، و تعیین اثرات زاویه هی حمله، عدد رینولوز و موقعیت طولی روی ساختار، قدرت و موقعیت این گردا به ها، آزمایش های متعددی در یک توپل باد زیر صوت در دانشگاه صنعتی شریف انجام گرفت. این آزمایش ها در بود عدد رینولوز 10×10^5 و $2/5 \times 10^5$ انجام شده اند. مقایسه هی نتایج تجربی موجود با نتایج حاصل از آشکار سازی جریان روی این بال ها نشان می دهد که نتایج به دست آمده از وقت قابل قبولی برخوردارند. عدد رینولوز در بال های مثلثی، تأثیر چندانی روی ساختار گردا به ها ندارد، بلکه زاویه هی حمله بی پیشریز تأثیر را بر ساختار گردا به ها می گذارد. طبق بررسی های به عمل آمده، گردا به هی به وجود آمده روی بال در زاویه هی حمله حدود ۳۲ منجر می شود و در نتیجه نیروی پرواز می یابد.

در این زمینه شده است. هدف از آزمایش های کنونی، تعیین ساختار گردا به های به وجود آمده روی بال مثلثی، و بررسی اثر عوامل مختلف - نظری زاویه هی حمله و عدد رینولوز - روی ساختار، موقعیت و قدرت گردا به هاست.

ساختار گردا به های به وجود آمده روی بال مثلثی جریان هوا روی بال های مثلثی در زوایای حمله بالاتر از حدود ۱۵°، اختلاف فاحشی با جریان روی بال های معمولی در همین زاویه هی حمله دارد. در بال های معمولی، پدیده هی و اماندگی در حدود ۲۰° اتفاق می افتد. این نوع بال برای هوا پیما های شکاری که باید قابلیت مانور در زاویه هی حمله بالا را داشته باشند مناسب نیست. ولی در بال های مثلثی قسمت اعظم جریان روی بال شامل دو گردا به است و قدرت این گردا به ها با افزایش زاویه هی حمله زیاد می شود. بنابراین زاویه هی حمله بال های مثلثی را می توان متناسب با زاویه هی پسگرای آن - تا حدود ۳۵° یا بالاتر - افزایش داد، بدون آنکه بال دچار و اماندگی شود. شکل ۱ گردا به ها را به همراه



مقدمه امروزه اکثر هوا پیما هایی که در سرعت های بالا پرواز می کنند - بویژه هوا پیما های شکاری - به منظور افزایش کارایی و قابلیت انجام مانور های مختلف در سرعت های زیر صوت، به بال هایی با زاویه هی پسگرای نسبتاً زیاد و ضریب منظری پایین مجذzenد. این هوا پیما های قابلیت های متعددی دارند، از جمله کروز ها در سرعت های مافق صوت و مادون صوت با حداقل مصرف سوخت پرواز می کنند، شتاب آنها بنا گهان تغییر می کند و نیز دارای قابلیت مانور در زوایای حمله بالاتر از و اماندگی هستند.

بررسی های نظری و تجربی متخصصان و طراحان هوا پیما های پیشرفته [۱] حاکی از این است که استفاده از بال یا کانارد^۱ مثلثی مهم ترین عامل دستیابی به قابلیت مانور بالاتر و کارایی بهتر در این نوع هوا پیما هاست. هوا پیمای روسی سوخو ۲۷ با استفاده از بال و کانارد مثلثی در نمایشگاه هوا بی فرانسه در سال ۱۹۸۹ برای اولین بار موفق به انجام مانور کبرا^۲ در هیچ پرواز شد. در این مانور زاویه هی حمله هی هوا پیما در هیچ پرواز افقی، ناگهان تا حدود ۱۲۰° افزایش می یابد و مجدداً به حالت افقی بر می گردد. قدرت مانور این هوا پیما را با هوا پیمای F-۱۶ آمریکا مقایسه کرده اند. [۲]

امروزه توسعه دی روشن های نیمه تجربی به منظور پیش بینی نیرو و گشتاور وارد بر بال های مثلثی، بیشترین مورد تحقیق و مطالعه ای انجام شده روی بال های مثلثی است. اطلاعات چندانی در مورد ساختار گردا به ها از قبیل توزیع سرعت، فشار و تغییرات آنها در اثر تغییر زاویه هی حمله، در دسترس نیست. به منظور ایجاد چنین بانک اطلاعاتی، برای اولین بار در کشور اقدام به انجام آزمایش های متعدد

افزایش زاویه‌ی حمله، نیروی برآ زیادتر می‌شود ولی نرخ تغییرات آن کم می‌شود.

برای بالهای مثلثی با زاویه‌ی پسگرای 70° نقطه‌ی انفجار گردابه‌ها به لبه‌ی فرار می‌رسد، ولی واماندگی بال در زاویه‌ی حدود 35° اتفاق می‌افتد.^[۲] در بالهای مثلثی با زاویه‌ی پسگرای کمتر از 76° در زاویه‌ی جانبی صفر درجه، انفجار گردابه‌ها متقارن است ولی موقعیت نقطه‌ی انفجار ثابت نیست و به طور متناوب روی بال به جلو و عقب می‌رود. برای بالهای با زاویه‌ی پسگرای بیشتر از 76° انفجار گردابه‌ها متقارن نیست. بدلیل عدم تقارن توزیع فشار در دو طرف بال، در این حالت هوایپما دچار نوساناتی حول محور طولی خواهد شد. در صورتی که خلبان به موقع عکس العمل نشان ندهد، این نوسانات تشدید شده و در نهایت سبب سقوط هوایپما می‌شوند. البته هنگامی که زاویه‌ی جانبی صفر نباشد، انفجار نامتقارن گردابه‌ها سبب ایجاد گشتاور چرخشی می‌شود که خلبان می‌تواند با استفاده‌ی این موقع از این گشتاور، مانور و چرخش سریع انجام دهد.

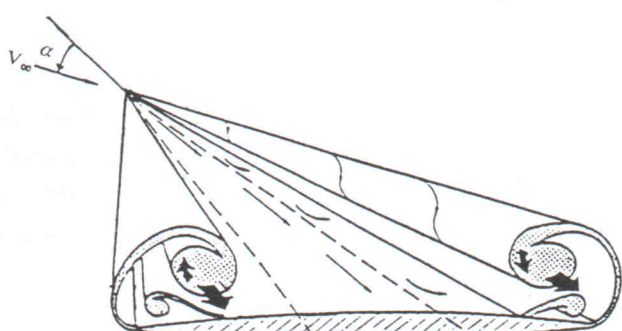
لازم به ذکر است که سازوکار ایجاد گردابه‌ی نامتقارن روی بال مثلثی با سازوکار ایجاد آن روی بدنه در زوایای حمله‌ی بالا، کاملاً متفاوت است. عامل پدیده‌ی اول هنوز به طور کامل مشخص نیست و حتی در شرایط خاص، در زوایای حمله‌ی پایین نیز اتفاق می‌افتد؛ ولی عامل پدیده‌ی دوم اثرات دماغه و جدایش جریان در جهت پشت به جریان^۳ است و فقط در زوایای حمله‌ی بالا رخ می‌دهد.^[۴]

با وجود تحقیقات فراوان در زمینه‌ی پدیده‌ی انفجار متقارن و نامتقارن گردابه‌ها روی بالهای مثلثی، هنوز دلیل قانع‌کننده‌یی برای این پدیده ارائه نشده است.^[۵] تحقیقات انجام شده در این زمینه غالباً به منظور تعیین نیروها و گشتاور این بال‌ها در زوایای حمله‌ی مختلف، و همچنین توسعه‌ی روش‌های نیمه‌تجربی برای پیش‌بینی این نیروها و گشتاور این بال است.

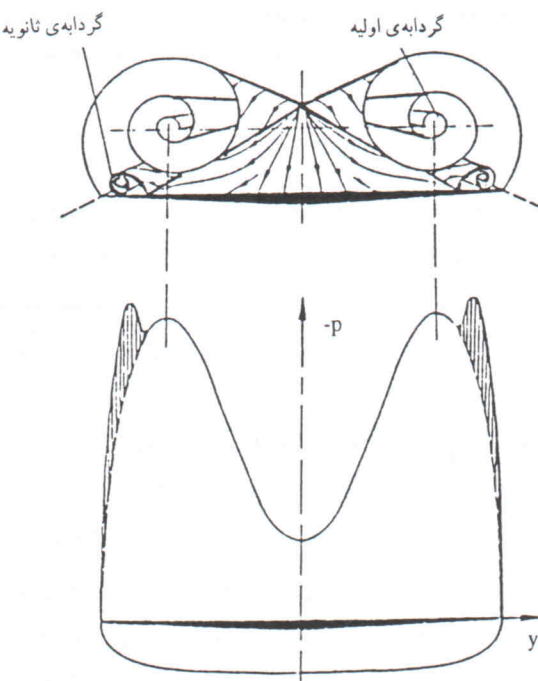
مشخصات مدل و تجهیزات تونل باد

تونل باد زیر صوت دانشکده‌ی مکانیک دانشگاه صنعتی شریف، که آزمایش‌ها در آن انجام گرفته است، از نوع دمنده و با سطح مقطع 45×45 سانتی‌متر است. به منظور افزایش سرعت و یکنواختی جریان در مقطع کار، برای این تونل چند افسانه^۵ (پخش‌کننده) طراحی و ساخته شده که با نصب آنها، بیشترین سرعت قابل دسترسی در تونل از 35 متر به 45 متر در ثانیه افزایش یافته است.

برای اندازه‌گیری فشار سکون و تعیین پروفیل گردابه‌ی روی بال از یک لوله‌ی پیتوت بدiameter $9/0$ میلی‌متر استفاده شده و به این ترتیب، توزیع سرعت در جهت محوری (موازی سطح بال) اندازه‌گیری شده



شکل ۲. گردابهای اصلی و ثانویه روی بال



شکل ۳. اثر گردابهای اصلی و ثانویه روی توزیع فشار سطح بال

نقسیه‌بندی نواحی مختلف داخل آن نشان می‌دهد.

با افزایش زاویه‌ی حمله، گردابه‌های اولیه از بال جدا شده و ناحیه‌ی کم فشار نزدیک سطح بال به وجود می‌آورند که در نهایت سبب به وجود آمدن گردابه‌های ثانویه می‌شود. در شرایط خاص، گردابه‌های ثانویه نیز از سطح بال جدا شده، گردابه‌های دیگری را در ناحیه‌ی نزدیک سطح بال به وجود می‌آورند که در نتیجه‌ی آن، نیروی برآ تغییر می‌کند (شکل‌های ۲ و ۳). با بیشتر شدن زاویه‌ی حمله تغییری ناگهانی در ساختار گردابه‌ها صورت می‌گیرد که اصطلاحاً به آن «انفجار»^۶ می‌گویند.

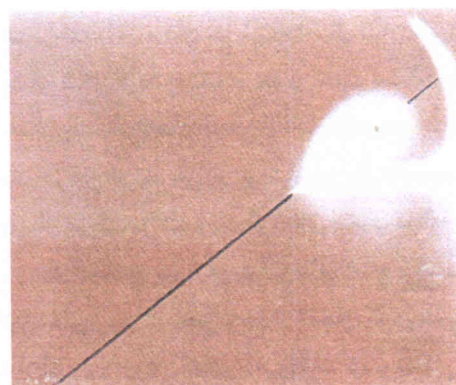
انفجار گردابه‌ها سبب از بین رفتن ناگهانی بخش عمده‌یی از نیروی برآ، و در نتیجه بروز محدودیت در قدرت مانور هوایپما می‌شود. البته باید توجه داشت که بلا فاصله بعد از انفجار گردابه‌ها، با

قسمت خارجی آن به شدت کاهش می‌یابد و در نتیجه‌ی افزایش فشار در آن ناحیه، از نیروی برآی بال کاسته می‌شود.

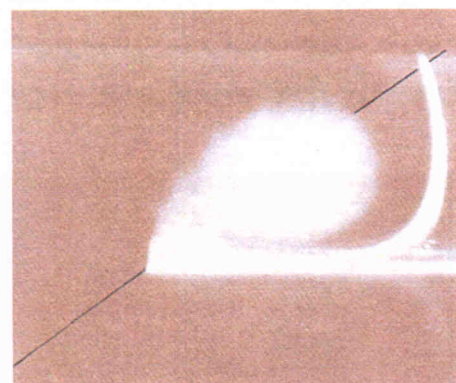
شکل ۶-الف گردابه‌های حاصل از آزمایش‌های کنونی در مقاطع $X/C = 0/25$, $X/C = 0/5$, $X/C = 0/75$, $X/C = 1$, $X/C = 0/25$ و در زاویه‌ی 30° را نشان می‌دهد. به نظر می‌رسد که بخش مشاهده شده در ناحیه‌ی اطراف هسته، به دلیل محدودیت دقت حسگر در این ناحیه و نیز شکل متفاوت لبه‌ی حمله در مدل مورد استفاده بوده است.

نتایج حاصل از آزمایش‌های کنونی (شکل ۶-الف) با نتایج حاصل از آزمایش‌های انجام شده به کمک لوله‌ی پیتوت هفت سوراخ^۷ و لیزر^۸، که در منابع خارجی انجام گرفته^[۶] (شکل ۶-ب)، مقایسه شده است. اگرچه این آزمایش‌ها به وسیله‌ی تجهیزات پیشرفت‌هه و دقیق انجام گرفته، ولی مشاهده می‌شود که نتایج حاصل از این دو آزمایش تفاوت چندانی ندارد. همچنین این شکل نشان می‌دهد که با نزدیک شدن به نوک بال (لبه‌ی حمله) قطر گردابه کم می‌شود ولی انفجار فقط در نزدیکی لبه‌ی فرار رخ می‌دهد.

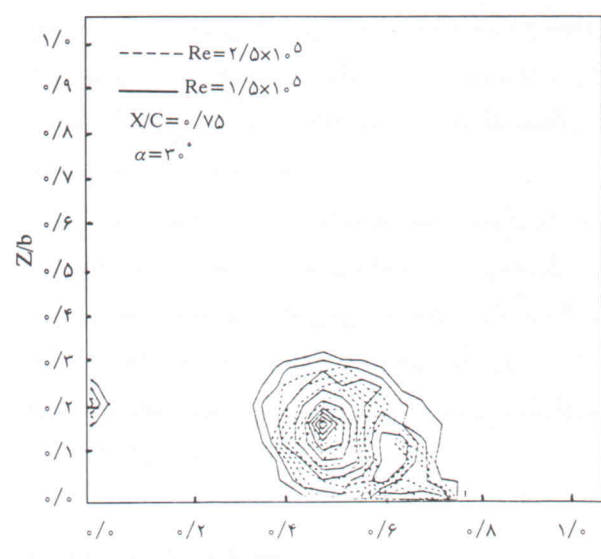
در شکل ۷ اثرات عدد رینولدز بر شکل گردابه‌ها در زاویه‌ی حمله‌ی 30° و در موقعیت $X/C = 0/75$ نشان داده شده است. مطابق این شکل، عدد رینولدز اثر چندانی روی شکل گردابه ندارد. لازم به یادآوری است که آزمایش‌های کنونی در دو عدد رینولدز $1/5 \times 10^5$ و $2/5 \times 10^5$ انجام گرفته‌اند. بدلیل محدودیت در سرعت توپل، انجام این آزمایش‌ها در بازه‌ی وسیع تری از اعداد رینولدز میسر نبوده است، ولی نتایج توزیع فشار در امتداد وتر بال که در اعداد رینولدز $1/4 \times 10^5$ تا $1/4 \times 10^6$ انجام شده^[۶] نشان می‌دهد که عدد



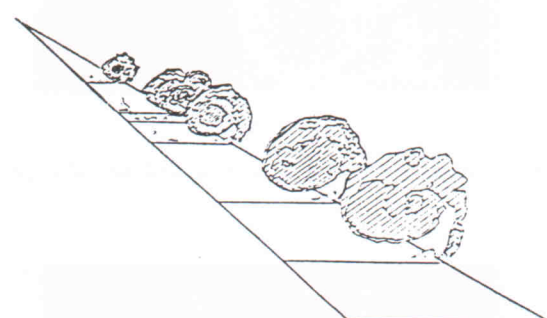
شکل ۵-ج. آشکارسازی گردابه قبل از انفجار [۵]



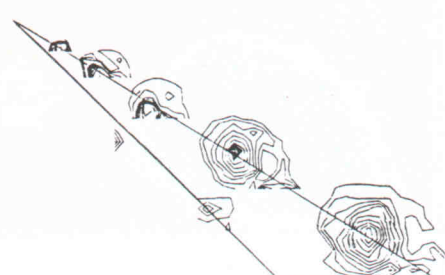
شکل ۵-د. آشکارسازی گردابه بعد از انفجار [۵]



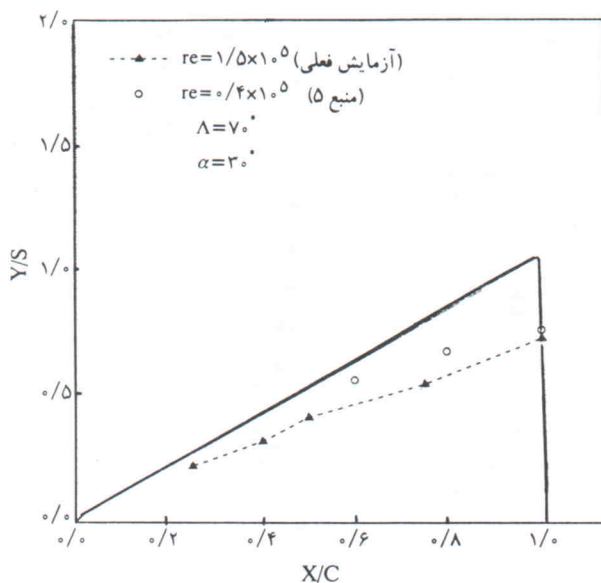
شکل ۷. اثر عدد رینولدز روی شکل گردابه



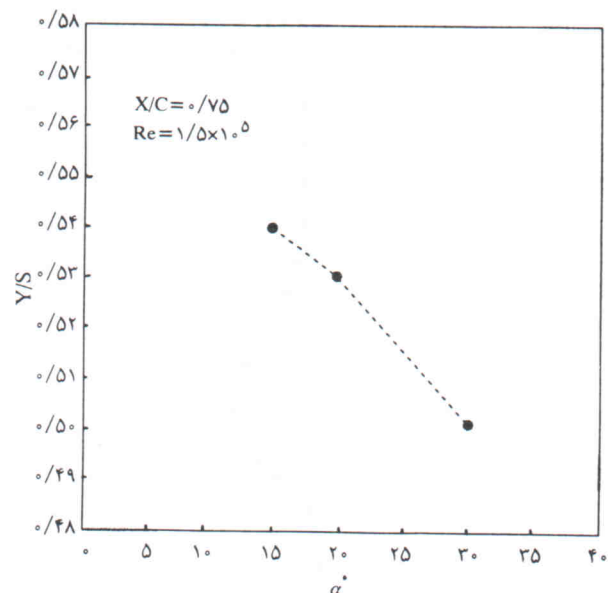
شکل ۶-الف. توزیع گردابه‌ها در طول وتر [۶]



شکل ۶-ب. توزیع گردابه‌های حاصل از آزمایش کنونی در طول وتر



شکل ۱۰. موقعیت مرکز گردابه روی بال در زاویه‌ی حمله 30°

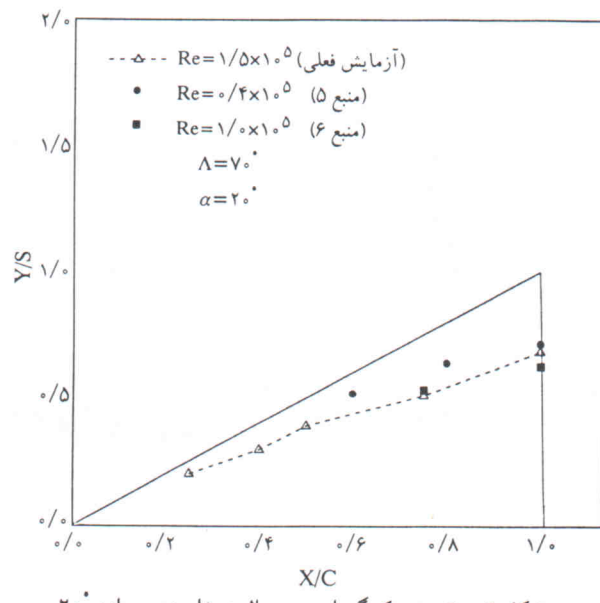


شکل ۸. تغییرات موقعیت عرضی مرکز گردابه با زاویه‌ی حمله

بلند می‌شود و یک ناحیه‌ی کم فشار زیر آن به وجود می‌آید که سبب تشکیل گردابه‌ی ثانویه می‌شود. در شکل‌های ۹ و ۱۰ تغییرات موقعیت طولی و عرضی هسته‌ی گردابه‌ی روی بال در زوایای حمله‌ی 20° و 30° در امتداد وتر نشان داده شده است. در یک زاویه‌ی حمله‌ی ثابت با افزایش موقعیت طولی (X/C) قطر گردابه بیشتر می‌شود و هسته‌ی گردابه به سمت لبه‌ی خارجی بال حرکت می‌کند. این پدیده در شکل ۶-الف نمایش داده شده است. به نظر می‌رسد اختلاف بین نتایج به دلیل استفاده از مدل بال کامل به جای مدل بال نیمه‌مثلثی به کار رفته در آزمایش‌های کنونی، اثر لوله‌ی پیتوت بر گردابه‌ها، وضعیت جریان در تونل‌های باد مورد استفاده و نیز محدوده‌ی دقت و نوع حسگرهاست.

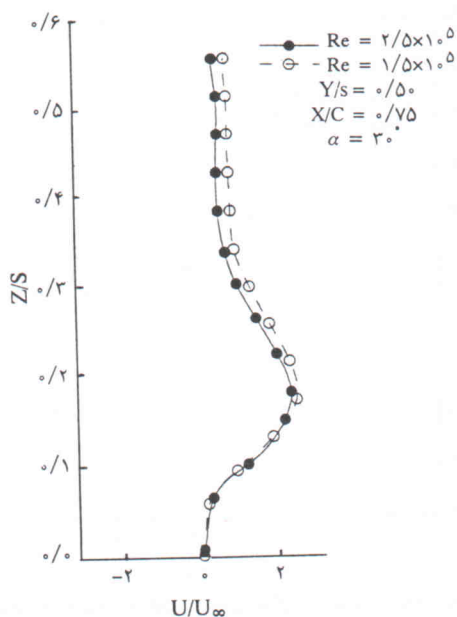
شکل ۱۱ تغییرات سرعت در امتداد محور عمودی بال (محور Z ، در دو موقعیت $X/C = 0.75$ و $X/C = 1$) و در زاویه‌ی حمله‌ی 30° را نشان می‌دهند. در این شکل‌ها ناحیه‌یی از جریان روی بال که تحت تأثیر گردابه قرار گرفته است، کاملاً مشخص شده است. مطابق شکل ۱۱-الف جریان روی بال تا ارتفاع $Z/b = 0.45$ تحت تأثیر گردابه قرار دارد. موقعیت عرضی هسته‌ی گردابه (Y/b) نیز برای حالت‌های $X/C = 0.75$ و $X/C = 1$ به ترتیب برابر 0.25 و 0.67 خواهد بود.

اثر عدد رینولدز روی پروفیل سرعت هسته‌ی گردابه در زاویه‌ی حمله‌ی 30° و $X/C = 0.75$ در شکل ۱۲ نشان داده شده است.

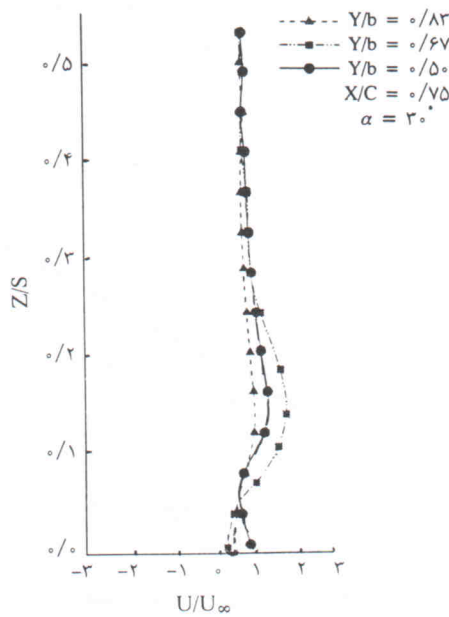


شکل ۹. موقعیت مرکز گردابه روی بال در زاویه‌ی حمله‌ی 20°

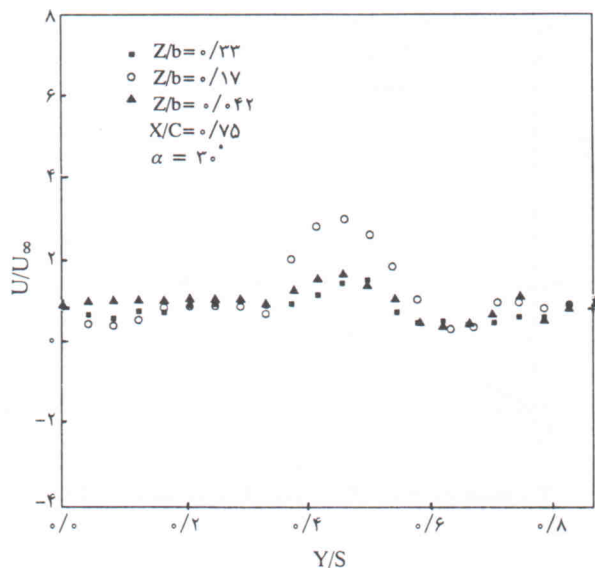
رینولدز اثر قابل ملاحظه‌یی روی توزیع فشار و در نتیجه ضریب برآ ندارد. بنابراین، اطلاعات به دست آمده با دقت نسبتاً خوبی در اعداد رینولدز پایین هم قابل استفاده‌اند. در شکل ۸ تغییرات موقعیت عرضی مرکز گردابه با زاویه‌ی حمله در موقعیت $X/C = 0.75$ و عدد رینولدز $1/5 \times 10^5$ نشان داده شده است. با افزایش زاویه‌ی حمله، گردابه سطح بیشتری از بال را می‌پوشاند. در نتیجه هسته‌ی گردابه به سمت نیمه‌ی عرض بال حرکت می‌کند. این حرکت باعث تغییرات توزیع فشار و در نتیجه افزایش نیروی برآ می‌شود. همچنین با افزایش زاویه‌ی حمله، گردابه از سطح



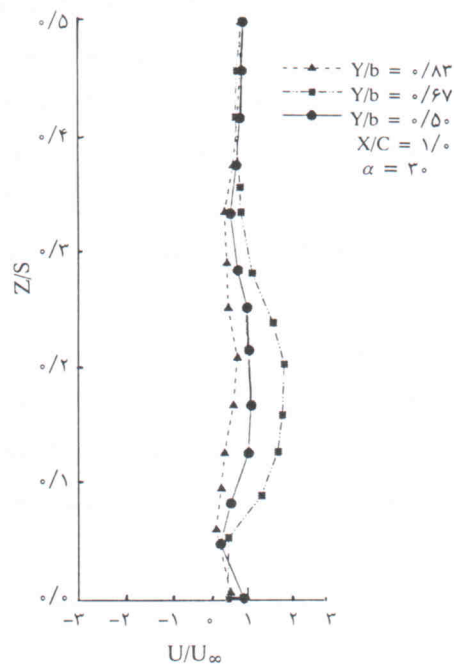
شکل ۱۲. اثر عدد رینولز روی پروفیل سرعت



شکل ۱۱-الف. پروفیل سرعت در سه مقطع عرضی در ۷۵/۰ وتر



شکل ۱۳-الف. توزیع سرعت در عرض بال در ۷۵/۰ وتر

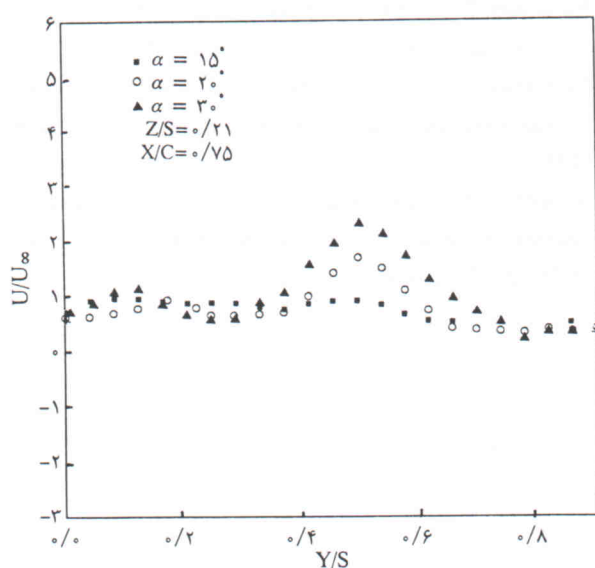


شکل ۱۱-ب. پروفیل سرعت در سه مقطع عرضی در لبه فرار

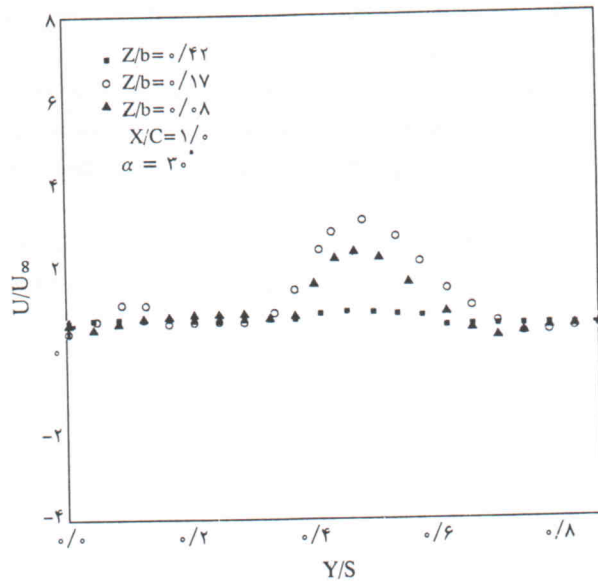
نیز نتیجه را تأیید می‌کند.

در شکل ۱۳-الف تغییرات سرعت در امتداد عرضی^۹ بال به ترتیب برای مقاطع $X/C = 0.75$ و $Z/b = 0$ در زاویه حمله 20° و در سه موقعیت عمودی مختلف نشان داده شده است. مطابق شکل ۱۳-ب، در ارتفاع $Z/b = 0.42$ از سطح بال، سرعت در امتداد عرضی یکنواخت است، اما در $Z/b = 0.17$ و $Z/b = 0.45$ سرعت برای هر دو حالت به حداقل خود رسیده است، که بیانگر وجود هسته‌ی گردابه

پروفیل سرعت برای دو عدد رینولز مورد آزمایش در محدوده‌یی که گردابه در آن قرار دارد، تغییر چندانی نمی‌کند. نتایج تحقیقات متعدد نشان می‌دهد که عدد رینولز تأثیر زیادی روی توزیع فشار و نیروی برآی بالهای مثلثی ندارد^{[۶][۷]} و از آنجاکه قسمت اعظم نیروی برآ توسعه گردابه‌ها به وجود می‌آید، می‌توان نتیجه گرفت که عدد رینولز تأثیر چندانی روی ساختار گردابه‌ها ندارد. شکل ۱۲



شکل ۱۴. اثر زاویه‌ی حمله روی توزیع سرعت در عرض بال



شکل ۱۴- ب. توزیع سرعت در عرض بال در لبه فرار

مشابه و در شرایط یکسان از دقت نسبتاً خوبی برخوردارند. بررسی تجربه‌ی کنونی نشان می‌دهد که در میان پارامترهای مختلف مورد آزمایش، زاویه‌ی حمله بیشترین اثر را روی میدان سرعت و قدرت گردابه‌ها دارد. محدوده افزایش زاویه‌ی حمله بستگی به زاویه پسگرای بال داشته و اگر از مقدار معینی بیشتر شود، گردابه‌های به وجود آمده منفجر شده و اثر زاویه‌ی حمله معکوس می‌شود.

در این وضعیت است.

اثرات زاویه‌ی حمله روی توزیع سرعت در هر دو موقعیت $Z/b = 0/21$ و $X/C = 0/75$ در شکل ۱۴ نشان داده شده است. با افزایش زاویه‌ی حمله گردابه‌ها قوی‌تر می‌شوند و درنتیجه سرعت گردابه در مرکز آن بیشتر خواهد شد. شکل ۱۴ نشان می‌دهد که افزایش سرعت برای هر سه زاویه تقریباً در $Y/b = 0/45$ اتفاق می‌افتد و در زاویه‌ی حمله‌ی 30° این افزایش بیشتر از بقیه‌ی زوایاست.

فهرست علامت

Δ : زاویه‌ی پسگرای (deg)

α : زاویه‌ی حمله‌ی بال (deg)

b: طول دهانه‌ی بال (cm)

C: وتر بال در ریشه (Cm)

$R_e = \rho U_\infty C / \mu$: عدد رینولدز جریان

U: مؤلفه‌ی محوری سرعت جریان روی بال (m/sec)

نتیجه‌گیری

به منظور ایجاد بانک اطلاعاتی درباره‌ی تشکیل گردابه‌ها و اثرات زاویه‌ی حمله و عدد رینولدز روی ساختار آنها، آزمایش‌های متعددی در یک تونل باد زیر صوت انجام گرفته است. نتایج اولیه حاصل از این آزمایش‌ها در مقایسه با نتایج تجربی موجود روی بال

پانوشت‌ها

1. canard: بالک افقی، که برای افزایش قابلیت هوایپما جلوی بال اصلی نصب می‌شود.
2. Cobra maneuvering
3. bursting
4. Leeside
5. diffuser
6. Differential Transducer

7. Seven Hole Probe

8. LDV

9. Spanwise

منابع

1. John, H., and Kraus, V. "High angle of attack characteristics of different fighter configuration", AGARD-CP-247 (1978).

2. Skow, A.M. "An analysis of the su-27 flight demonstration at the 1989 Paris air show", *SAE Technical Paper Series*, No. 901001 (April 1990).
3. Soltani, M.R. "An experimental study of the relationship between forces and moments and vortex breakdown on pitching delta wing", *PhD. Dissertation*, Univ.of Illinoise at Urbana-Champaign (1992).
4. Malcolm, G.N. et al, "Development of non conventional control methods for high angle of attack using vortex manipulation", *AGARD-CP-465*, pp. 11-17 (1989).
5. Ruckmann, K. and Orlik, J. "Effect of high angle of attack on dynamic stability parameters", *AGARD-CP-247* (1978).
6. Kegerman, J.T. and Roos, F.W. "The flow fields of bursting vortices over moderately swept delta wings", *MDRL 90-03* (1990).
7. Earnshaw, P.B. and Lawford, J.A. "Low-speed wind-tunnel experiments on a series of sharp-edged delta wings", *ARC R&M No. 3424* (1964).